

# Модификация спектров спин-волнового резонанса в пленках с затуханием и конечным поверхностным закреплением спинов

© Р.Н. Носов, Д.И. Семенцов

Ульяновский государственный университет,  
432700 Ульяновск, Россия

E-mail: sements@quant.univ.simbirsk.su

(Поступила в Редакцию 20 декабря 1999 г.)

Исследуется влияние различных степеней поверхностного закрепления спинов на спектр спин-волнового резонанса перпендикулярно намагниченного тонкого ферромагнитного слоя при наличии затухания в спиновой системе. Для различных типов поверхностного закрепления приведены результаты численного анализа мнимой части высокочастотной восприимчивости, определяющей амплитуду, ширину и положение резонансных пиков спин-волнового спектра.

Необходимым условием возбуждения спектра спин-волнового резонанса (СВР) в однородно намагниченной пленке однородным высокочастотным магнитным полем является наличие поверхностной анизотропии, отличающейся от объемной и определяющей степень закрепления спинов на поверхностях пленки [1]. Исследованию влияния граничных условий на характер спин-волнового спектра посвящено достаточно большое число работ (например, [2–6]). Изучены особенности спектров СВР для симметричного, антисимметричного и других частных случаев поверхностного закрепления спинов. Однако анализ спектров, проводимый в большинстве работ, не учитывает затухания в спиновой системе. Особенности спектров СВР в пленках с неполным закреплением поверхностных спинов и конечным затуханием и их модификация при изменении указанных характеристик исследованы недостаточно [7–9]. В то же время возросшие требования, предъявляемые к расшифровке спектров СВР в моно- и мультислоях, указывают на необходимость более детального изучения влияния на спектры различных параметров и, в первую очередь, симметрии граничных условий, степени закрепления спинов и затухания [10,11]. В настоящей работе исследуется модификация спектра СВР при изменении степени поверхностного закрепления спинов и типа поверхностной анизотропии при учете затухания в спиновой системе.

## 1. Уравнения движения

Движение вектора намагниченности  $\mathbf{M}$  при наличии затухания в спиновой системе описывается уравнением Ландау–Лифшица

$$\dot{\mathbf{M}} = \gamma [\mathbf{M}\mathbf{H}^{\text{eff}}] + \frac{\xi}{M} [\mathbf{M}\dot{\mathbf{M}}], \quad (1)$$

где  $\gamma$  — гиромагнитное отношение,  $\xi$  — безразмерный параметр затухания. Эффективное внутреннее поле опре-

деляется следующим соотношением:

$$\mathbf{H}^{\text{eff}} = \mathbf{H}_0 + \mathbf{h} + \alpha \nabla^2 \mathbf{M} + \beta \mathbf{n}(\mathbf{nM}) - 4\pi \hat{N} \mathbf{M}, \quad (2)$$

где  $\mathbf{H}_0$  и  $\mathbf{h}$  — внешние статическое и высокочастотное поля,  $\alpha$  и  $\beta$  — константы обменного взаимодействия и одноосной анизотропии,  $\mathbf{n}$  — орт оси легкого намагничивания,  $\hat{N}$  — тензор размагничивающих коэффициентов. Пусть статическое поле  $\mathbf{H}_0$  и орт  $\mathbf{n}$  направлены перпендикулярно поверхности пленки, а высокочастотное поле  $\mathbf{h} \perp \mathbf{H}_0$ . Пусть величина подмагничивающего поля  $\mathbf{H}_0$  такова, что ориентация равновесной намагниченности  $\mathbf{M}_0$  совпадает с  $\mathbf{n}$ . Вводя в уравнение (1) малые отклонения  $\mathbf{m}(\mathbf{r}, t)$  от положения равновесия и линеаризуя его, получим для компонент  $m_x$  и  $m_y$  следующую систему уравнений:

$$\begin{aligned} \dot{m}_x - \xi \dot{m}_y &= \gamma (\alpha M_0 \nabla^2 - \beta M_0 - H_0 + 4\pi M_0) m_y - \gamma M_0 h_y, \\ \dot{m}_y - \xi \dot{m}_x &= \gamma (\alpha M_0 \nabla^2 - \beta M_0 - H_0 + 4\pi M_0) m_x + \gamma M_0 h_x. \end{aligned} \quad (3)$$

Пленка, намагниченная перпендикулярно своей поверхности, обладает аксиальной симметрией, поэтому отклонение магнитного момента от равновесного состояния удобно описывать круговыми проекциями  $m^\pm = m_x \pm im_y$ . Если высокочастотное поле также поляризовано по кругу ( $h^\pm = h_x \pm ih_y$ ) и гармонически зависит от времени, то уравнение движения для компоненты  $m^+ \equiv m$ , ответственной за собственные колебания спиновой системы, имеет вид

$$\frac{d^2 m}{dz^2} + \nu^2 m = -\frac{h}{\alpha}, \quad (4)$$

где волновое число спиновой волны определяется дисперсионным соотношением

$$\omega = (1 - i\xi)\omega_0 + \alpha\gamma M_0 \nu^2, \quad (5)$$

а  $\omega_0 = \gamma(H_0 + \beta M_0 - 4\pi M_0)$  — частота однородного (ферромагнитного) резонанса. Решение уравнения (4) может быть представлено следующим образом:

$$m(z) = A_1 \exp(i\nu z) + A_2 \exp(-i\nu z) - \frac{h}{\alpha \nu^2}. \quad (6)$$

Коэффициенты  $A_1$  определяются из обменных граничных условий [1], записанных для каждой из поверхностей пленки,

$$\frac{dm}{dz} - d_1 m|_{z=-L} = 0, \quad \frac{dm}{dz} + d_2 m|_{z=L} = 0, \quad (7)$$

где параметры поверхностного закрепления спинов  $d_i = a\Delta\beta_i/\alpha$ ,  $a$  — величина порядка параметра решетки,  $\Delta\beta_i$  — разность констант поверхностной и объемной анизотропий.

Совместное решение уравнений (6) и (7) приводит к следующему выражению для усредненной по толщине намагниченности:

$$\langle m \rangle = \frac{1}{2L} \int_{-L}^L m(z) dz = \chi h, \quad (8)$$

где высокочастотная восприимчивость пленки

$$\chi = \frac{1}{2\alpha\nu^2} \left\{ \frac{2d_1 d_2 \operatorname{tg} \nu L + (d_1 + d_2)\nu}{\nu L [d_1 d_2 + (d_1 + d_2)\nu \operatorname{ctg} 2\nu L - \nu^2]} - 2 \right\}. \quad (9)$$

Полученное выражение в общем виде описывает спектр возбуждений спиновой системы магнитной пленки. В отсутствие затухания ( $\xi = 0$ ) положение спин-волновых пиков определяется полюсами  $\chi$ .

## 2. Анализ без учета затухания

В общем случае произвольного закрепления спинов на поверхностях пленки в зависимости от знаков параметров  $d_i$  возможны три варианта граничных условий, различных по своей природе:  $d_i > 0$  — на обеих поверхностях пленки реализована одноосная анизотропия типа "легкая ось";  $d_i < 0$  — соответствует поверхностной анизотропии типа "легкая плоскость";  $d_1 > 0, d_2 < 0$  отвечают смешанным граничным условиям. Рассмотрим некоторые часто встречающиеся случаи поверхностного закрепления спинов.

1)  $d_1 = -d_2 = d$  — антисимметричное закрепление. В этом случае

$$\chi = \frac{1}{\alpha\nu^2} \left[ \frac{d^2 \operatorname{tg} \nu L}{\nu L (d^2 + \nu^2)} - 1 \right], \quad (10)$$

и спектр спиновых волн определяется волновыми числами  $\nu_p L = (2p - 1)\pi/2$ , где  $p$  — целые числа. При этом положение спин-волновых мод не зависит от степени закрепления. Указанные моды в соответствии с номером  $2p - 1$  могут идентифицироваться как нечетные. Расстояние между соседними модами зависит от толщины пленки — уменьшение толщины приводит к его увеличению, а именно  $\Delta\nu_{p,p+1} = \pi/L$ .

2)  $d_1 = d_2 = d$  — симметричное закрепление. В этом случае

$$\chi = \frac{1}{\alpha\nu^2} \left[ \frac{d}{\nu L (d \operatorname{ctg} \nu L - \nu)} - 1 \right], \quad (11)$$

спектр спиновых волн определяется решениями уравнения

$$\operatorname{ctg} \nu L - \nu/d = 0. \quad (12)$$

Из (12) следует, что в этом случае положение спин-волновых мод зависит от степени закрепления поверхностных спинов. Для полного закрепления ( $d \rightarrow \pm\infty$ ) положение спин-волновых мод определяется волновыми числами  $\nu_p L = (2p - 1)\pi/2$  и, как и в случае антисимметричного закрепления, включает нечетные моды.

3)  $d_1 \rightarrow \infty, d_2 = 0$ , т.е. на одной из поверхностей реализуется полное закрепление спинов, на другой — закрепление полностью отсутствует. В этом случае

$$\chi = \frac{1}{\alpha\nu^2} \left( \frac{1}{2\nu L \operatorname{ctg} 2\nu L} - 1 \right), \quad (13)$$

и спектр спин-волновых мод включает значение волновых чисел  $\nu_p L = (2p - 1)\pi/4$ , т.е. число мод удваивается по сравнению со случаями полного и симметричного закрепления.

Во всех рассмотренных случаях при полном отсутствии закрепления на обеих поверхностях пленки ( $d_1 = d_2 = d$ ) в спектре исчезают спин-волновые моды и остается лишь однородная мода с  $\nu = 0$  (ферромагнитный резонанс), для которой  $\chi = 1/\alpha\nu^2$ . Рассмотренные спин-волновые моды являются объемными, их волновые числа являются действительными числами и решение (6) может быть представлено тригонометрическими функциями. При этом, в соответствии с (5), указанные моды реализуются в области частот выше однородного резонанса ( $\omega > \omega_0$ ). Полученные решения уравнения (4) допускают также существование поверхностных спин-волновых мод, для которых в (6) волновые числа являются чисто мнимыми, поэтому они реализуются при  $\omega < \omega_0$  и описываются гиперболическими функциями. Выражение для восприимчивости  $\chi$ , описывающее поверхностные моды, может быть получено заменой  $\nu$  на  $i\nu$  в соответствующих выражениях для объемных мод. Так, в случае симметричного закрепления вместо (11) получаем

$$\chi = \frac{1}{\alpha\nu^2} \left[ \frac{d}{\nu L (d \operatorname{cth} \nu L + \nu)} - 1 \right], \quad (14)$$

откуда следует, что положение этой моды определяется решением уравнения

$$\operatorname{cth} \nu L + \nu/d = 0. \quad (15)$$

На рис. 1 приведены графические решения уравнений, определяющих спектр волновых чисел объемных (а) и поверхностных (б) мод для случая симметричного поверхностного закрепления спинов. Видно, что при  $d \rightarrow \pm\infty$  спектр обменных мод определяется волновыми числами  $\nu_p L = (2p - 1)\pi/2$ , а при  $d \rightarrow 0$  спектр содержит только одну однородную моду с  $\nu = 0$ . Поверхностная мода в рассматриваемом случае симметричного закрепления имеет место только для поверхностной анизотропии типа "легкая плоскость", т.е. при  $d < 0$ .

При несимметричных граничных условиях, когда  $d_1 \neq \pm d_2$ , анализ выражения (9) в общем виде является довольно сложным, однако для каждого конкретного типа поверхностной анизотропии и значений параметров  $d_i$  спектр волновых чисел объемных и поверхностных мод может быть найден численными методами.

### 3. Учет затухания

Выражение (9) с чисто действительными (либо чисто мнимыми) значениями волновых чисел  $\nu$  позволяет определить только положение спин-волновых мод по частоте (либо по полю). Ширина соответствующего пика и его амплитуда могут быть найдены из (9), если учесть комплексность  $\nu$  при наличии затухания в спиновой системе. Для исследования спин-волнового спектра в случае  $\xi \neq 0$  запишем дисперсионное соотношение для спиновых волн, вводя действительную и мнимую части волнового числа  $\nu = \nu_1 - i\nu_2$ ,

$$\nu_1^2 - \nu_2^2 = \Omega - \Omega_0 \equiv \Delta\Omega, \quad 2\nu_1\nu_2 = \xi\Omega, \quad (16)$$

где введены обозначения  $\Omega = \omega/\alpha\gamma M_0$  и аналогично для  $\Omega_0$ . Решая (16), получаем частотные зависимости действительной и мнимой частей волновых чисел спиновых волн

$$\nu_j = \frac{1}{\sqrt{2}} \left[ \sqrt{\Delta\Omega^2 + \xi^2\Omega^2} - (-1)^j \Delta\Omega \right]^{\frac{1}{2}}, \quad j = 1, 2. \quad (17)$$

При значении  $\Omega = \Omega_0$ , т.е.  $\Delta\Omega = 0$ , соответствующем однородному (ферромагнитному) резонансу  $\nu_1 = \nu_2 = (\xi\Omega/2)^{\frac{1}{2}}$ . На рис. 2 приведены частотные зависимости параметров  $\nu_j$ , представляющие дисперсионные кривые для спиновых волн в тонкой пленке при наличии затухания.

Поглощаемая тонкой пленкой мощность высокочастотного поля определяется мнимой частью комплексной восприимчивости  $\chi = \chi' - i\chi''$ , а именно  $P = \omega\chi''h^2/2$ . Максимумы  $\chi''$  отвечают возбуждаемым в пленке спин-волновым модам соответствующего типа и порядка. Проведем более детальный анализ спектра спин-волновых мод для одного из наиболее важных случаев — симметричного закрепления. В соответствии с (11) для мнимой части высокочастотной восприимчивости получаем следующее выражение:

$$\chi'' = \frac{1}{\alpha g L} \left\{ \Delta\Omega(\nu_1 q_2 + \nu_2 q_1) + \xi\Omega[\nu_1 q_1 - \nu_2 q_2 - L(\nu_1^2 + \nu_2^2)(q_1^2 + q_2^2)] \right\}, \quad (18)$$

где введены обозначения:  $g = (q_1^2 + q_2^2)(\nu_1^2 + \nu_2^2)^3$  и

$$q_1 = \text{ctg } \nu_1 L \frac{\text{cth}^2 \nu_2 L - 1}{\text{ctg}^2 \nu_1 L + \text{cth}^2 \nu_2 L} - \frac{\nu_1}{d},$$

$$q_2 = \text{cth } \nu_2 L \frac{\text{ctg}^2 \nu_1 L + 1}{\text{ctg}^2 \nu_1 L + \text{cth}^2 \nu_2 L} + \frac{\nu_2}{d}.$$

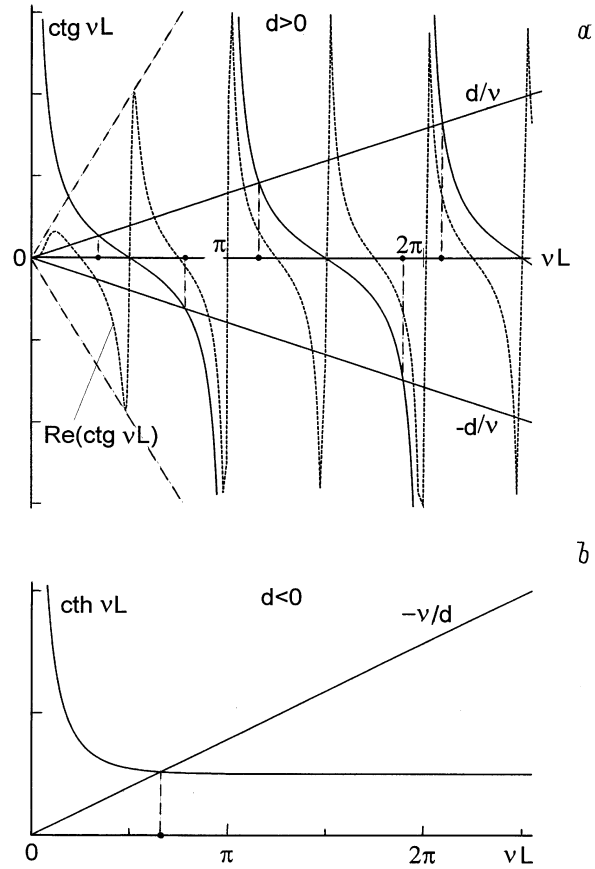


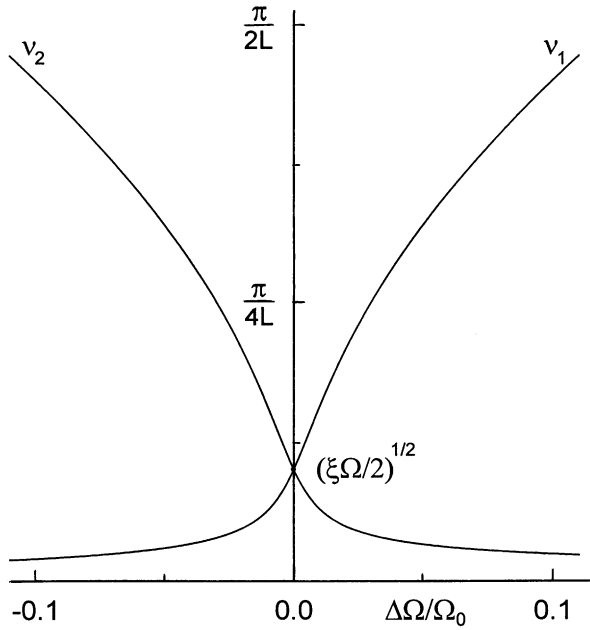
Рис. 1. Графическое решение дисперсионных уравнений для объемных (а) и поверхностных (б) мод при симметричном закреплении.

Анализ (18) показывает, что максимумы поглощения находятся в точках, являющихся при  $\Omega > \Omega_0$  решениями уравнения  $q_1 = 0$  (объемные моды), а при  $\Omega < \Omega_0$  и  $d < 0$  — уравнения  $q_2 = 0$  (поверхностные моды). Эти уравнения являются обобщением уравнений (12) и (15) на случай отличного от нуля затухания. Положение объемных мод определяется двумя типами решений уравнения  $q_1 = 0$ , а именно:

$$L\nu_{1p}^{(1)} = \left( p - \frac{1}{2} - \Delta_p \right) \pi, \quad L\nu_{1p}^{(2)} \cong \pi p, \quad (19)$$

где  $\Delta_p$  — зависящее от степени закрепления и номера моды смещение.

Как следует из рис. 1, функция  $\text{Re}(\text{ctg } \nu L)$  при  $\xi \neq 0$  является ограниченной. Огибающие максимумов этой функции являются прямыми  $\pm \nu_1 \Omega L / \xi$ , откуда следует, что решения (19) будут существовать только при выполнении неравенства  $|d| \geq \xi \Omega L$ . Первый тип этих решений  $\nu_{1p}^{(1)}$  соответствует нечетным спин-волновым модам и практически совпадает с решениями уравнения (12) в отсутствие затухания. Второй тип решений  $\nu_{1p}^{(2)}$  соответствует четным модам и возникает из-за искажения стоячих спиновых волн вследствие наличия затухания в



**Рис. 2.** Частотные зависимости действительной  $\nu_1$  и мнимой  $\nu_2$  частей волновых чисел спиновых волн.

спиновой системе. С увеличением поверхностной анизотропии и  $d > 0$  значения волновых чисел нечетных мод растут, тогда как значения волновых чисел четных мод практически не меняются (уменьшаются в очень незначительной степени). Отсюда следует, что с увеличением  $d$  нечетные моды сдвигаются в сторону увеличения резонансных частот (или уменьшения резонансных полей). При  $d < 0$  с ростом степени закрепления, т. е.  $|d|$ , сдвиги спин-волновых мод будут происходить в обратном направлении. Указанные сдвиги будут происходить до тех пор, пока четные и нечетные моды не сольются, т. е. пока  $|d|$  не станет равным  $\xi\Omega L$ . В этот момент прямые  $\pm\nu_1/d$  сливаются с огибающими максимумов функции  $\text{Re}(\text{ctg } \nu L)$  и спин-волновые моды не могут уже идентифицироваться как четные или нечетные.

Максимумы поглощения в точках, соответствующих значениям волновых чисел (19), в приближении  $\Delta\Omega \gg \xi\Omega$  даются выражениями

$$\chi'' \cong \begin{cases} \frac{1}{\alpha\xi\Omega\Delta\Omega L^2} \left( \frac{2}{f} + \frac{\xi^2\Omega^2 L^2}{\Delta\Omega} \right), & \nu_1 = \nu_1^{(1)}, \\ \frac{\xi\Omega}{\alpha\Delta\Omega} \left( \frac{2d}{4d\Delta\Omega + \xi^2\Omega^2 L} + \frac{1}{\Delta\Omega} \right), & \nu_1 = \nu_1^{(2)}, \end{cases}$$

$$f = \frac{\nu_1^2 + d^2}{d^2 + \xi^2\Omega^2 L^2/4} + \frac{1}{Ld}, \quad \nu_1^2 \cong \Delta\Omega. \quad (20)$$

Из приведенных соотношений следует, что амплитуды нечетных мод пропорциональны величине  $\xi^{-1}$ , тогда как четные моды  $\sim \xi$ . При параметрах затухания  $\xi \leq 10^{-2}$ , что обычно имеет место в реальных магнитных пленках, интенсивность четных мод по крайней мере на четыре порядка меньше интенсивности нечетных мод.

В предельном случае полного закрепления ( $d \rightarrow \infty$ ) выражение (20) дает следующее распределение амплитуд нечетных мод по волновому числу  $\nu_1$ :

$$\chi''_{\max} = \frac{1}{\alpha\xi\Omega\nu_1^2 L^2} \left( 2 + \frac{\xi^2\Omega^2 L^2}{\nu_1^2} \right), \quad (21)$$

которое в пренебрежении малой поправкой в круглых скобках определяет известное "квадратичное" распределение амплитуд спин-волновых мод ( $\chi''_{\max} \sim \nu^{-2}$ ). При отсутствии закрепления ( $d = 0$ ) спектр спиновых волн исчезает, и соотношения (20) описывают "хвост" однородного резонанса  $\chi''_{\text{одн}} \cong \xi\Omega/\alpha\Delta\Omega^2$ . Конечные значения параметров  $d$  и  $\xi$ , таким образом, приводят к отклонению от квадратичного распределения амплитуд спиновых волн, уменьшая их по сравнению с  $\chi'' = 2/\alpha\xi\Omega\nu_1^2 L^2$ .

Исследуем поглощение  $\chi''$  в окрестности частоты однородного резонанса  $\Omega = \Omega_0$ . Учитывая, что в этой области  $\nu_1 \cong \nu_2 \cong (\xi\Omega/2)^{1/2}$  и  $\nu_1 L \ll 1$ , получаем

$$\chi''_{\text{hom}} = \frac{\xi\Omega}{\alpha(\Delta\Omega^2 + \xi^2\omega^2)} \times \left[ 1 - \frac{d(d - 3\Delta\Omega L/2)}{(d - \Delta\Omega L)^2 + (d + 1/2L)^2 \xi^2 \Omega^2 L^4} \right]. \quad (22)$$

В отсутствие закрепления максимальное значение амплитуды ферромагнитного резонанса имеет место при  $\Delta\Omega = 0$  и равно  $\chi''_{\text{FMR}} = 1/\alpha\xi\Omega$ . При  $d \neq 0$  максимум поглощения "однородной" моды сдвигается: при  $d > 0$  сдвиг положителен, и однородная мода переходит в спин-волновую объемную моду с индексом  $p = 1$ ; при  $d < 0$  сдвиг отрицателен, и однородная мода переходит в поверхностную моду. Аналогично проведенному рассмотрению можно получить амплитуды спин-волновых мод в любом частном случае поверхностного закрепления спинов.

#### 4. Численный анализ

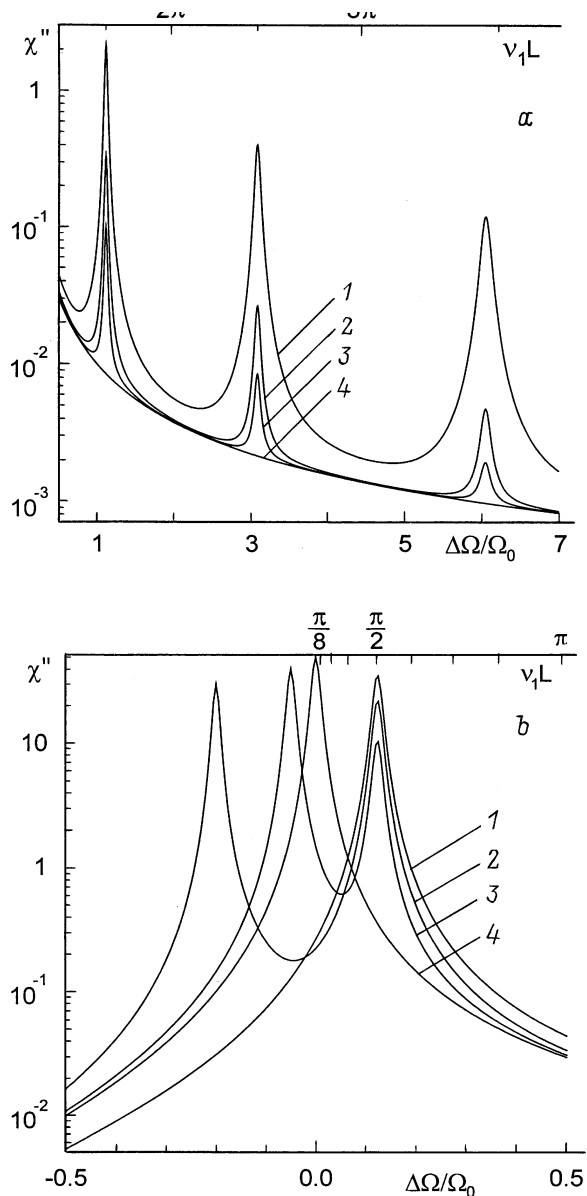
Далее приводятся результаты численного анализа, определяющие основные особенности модификации спин-волнового спектра, связанные с поверхностным закреплением спинов и затуханием в спиновой системе. На рис. 3 приведена зависимость величины  $\chi''$  от нормированной отстройки от частоты однородного резонанса  $\Delta\Omega/\Omega_0$  в случае антисимметричного закрепления поверхностных спинов ( $d_1 = -d_2 = d$ ) для различных значений параметра закрепления ( $d = \infty, 2, 1, 0$ ; кривые 1-4) и параметра затухания  $\xi = 10^{-2}$ . Указанная зависимость представляет частотный спектр спин-волновых мод. Часть спектра, отвечающая объемным модам с индексом  $p = 2, 3, 4$ , представлена на рис. 3, а, а соответствующая объемной моде с  $p = 1$ , однородной и поверхностной модам — на рис. 3, б. Из приведенных зависимостей следует, что с изменением степени закрепления поверхностных спинов в рассматриваемом случае не

происходит сдвига по частоте (и по полю) объемных мод, но имеет место сдвиг поверхностной моды: при полном закреплении поверхностная мода отсутствует, а с уменьшением степени закрепления поверхностная мода смещается в сторону увеличения частоты и при переходе к полному отсутствию закрепления ( $d \rightarrow 0$ ) переходит в однородную моду ( $\Omega_s \rightarrow \Omega_0$ ). При  $d \neq 0$  однородная мода в спектре отсутствует. Видно также, что увеличение степени закрепления приводит к значительному росту амплитуд объемных мод и незначительному уменьшению амплитуды поверхностной моды. Изменение знака поверхностной анизотропии на обеих поверхностях пленки ( $d_1 = -d_2 = d < 0$ ) не влияет на положение и амплитуду спин-волновых мод, что является отличительной

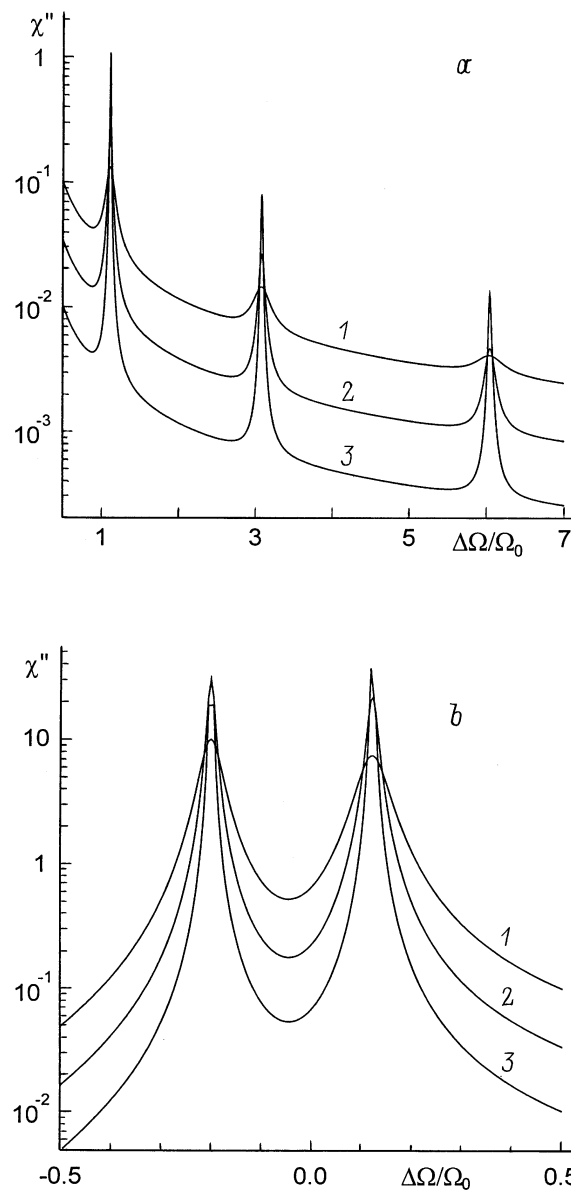
чертой спектра спиновых волн при антисимметричном закреплении поверхностных спинов.

На рис. 4, *a, b* для антисимметричного закрепления с параметром  $d = 1$  приведен спин-волновой спектр при различных значениях параметра затухания  $\xi = (0.3; 1; 3) \times 10^{-2}$  (кривые 1–3). Как и следовало ожидать, увеличение затухания в спиновой системе приводит к уменьшению амплитуды и увеличению ширины резонансных пиков. При этом величина затухания практически не оказывает влияния на положение этих пиков.

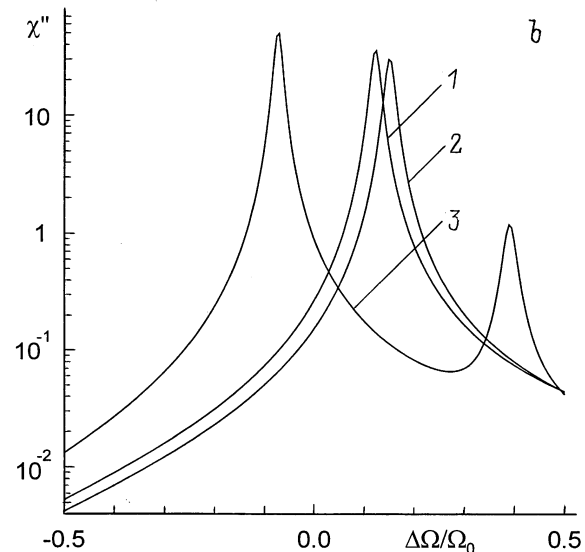
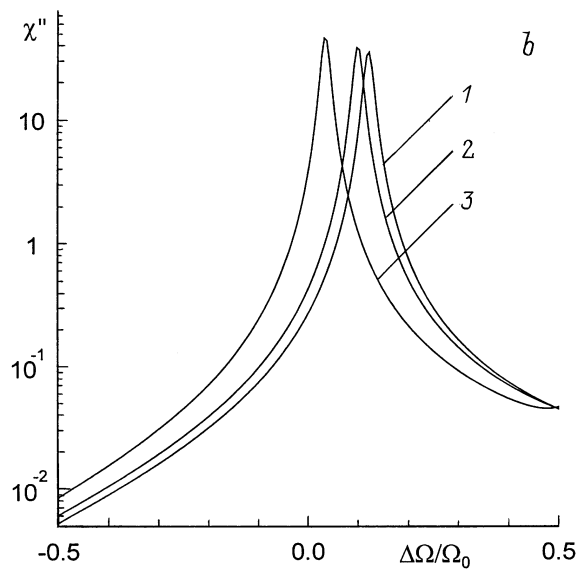
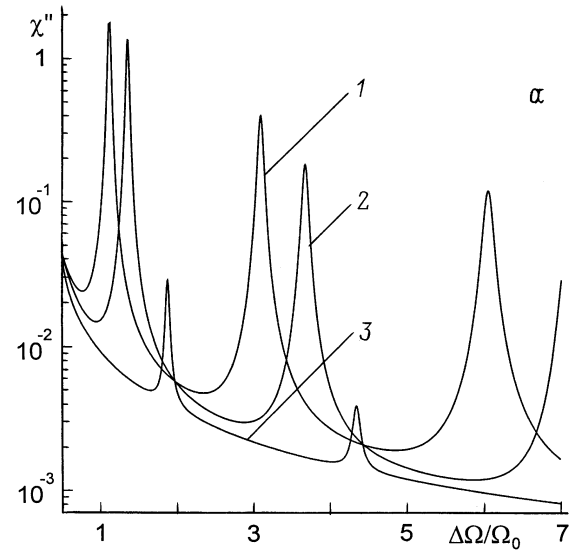
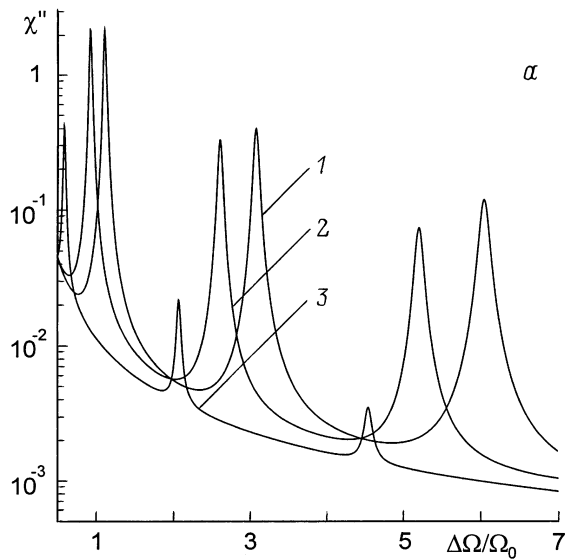
На рис. 5 для симметричного закрепления поверхностных спинов ( $d_1 = d_2 = d$ ) и поверхностной анизотропии типа "легкая ось" ( $d > 0$ ) представлены части спектра, отвечающие объемным спин-волновым



**Рис. 3.** Спектр СВР при антисимметричном закреплении и различных значениях параметра закрепления  $d$ ;  $L = 10^{-4}$  см,  $M_0 = 10^3$  Г,  $\xi = 10^{-2}$ .



**Рис. 4.** Спектр СВР при антисимметричном закреплении и различных значениях параметра затухания  $\xi$ ;  $d = 1$ .



**Рис. 5.** Спектр СВР при симметричном закреплении и различных значениях параметра  $d > 0$ ;  $\xi = 10^{-2}$ .

**Рис. 6.** Спектр СВР при симметричном закреплении и различных значениях параметра  $d < 0$ ;  $\xi = 10^{-2}$ .

модам с  $p = 2, 3, 4$  (a) и моде с  $p = 1$  (b). Отличительной особенностью рассматриваемого случая является отсутствие в спектре поверхностной моды, а также зависимость положения резонансных пиков от степени закрепления. С увеличением закрепления все резонансные пики смещаются в область больших частот. Амплитуды пиков мод с  $p > 1$  увеличиваются с ростом закрепления, тогда как для моды с  $p = 1$  рост амплитуды имеет место при уменьшении степени закрепления, и при  $d = 0$  эта мода переходит в моду однородного резонанса с максимальной амплитудой. На рис. 6 представлен спектр для симметричного закрепления, но с поверхностной анизотропией типа "легкая плоскость" ( $d < 0$ ). В этом случае в области  $\Omega < \Omega_0$  появляется поверхностная мода с амплитудой, намного

превосходящей амплитуду объемной моды с  $p = 1$  (кривая 3 на рис. 6, b). Увеличение степени закрепления спинов в этом случае приводит к росту амплитуд пиков, соответствующих всем объемным модам ( $p \geq 1$ ), и смещению резонансных пиков объемных мод в область меньших частот. Сравнивая спектры на рис. 5 и 6, можно видеть что при одних и тех же значениях величины  $|d|$ , но разных типах поверхностной анизотропии одной области частот (полей) могут отвечать спин-волновые моды с различным индексом  $p$ . Так, значению  $|d| = 2$  в области частот  $\Delta\Omega/\Omega_0 \cong 2$  на рис. 5, a отвечает мода с  $p = 3$ , а на рис. 6, a — мода с  $p = 2$ .

Проведенный анализ показывает, что наличие затухания и неполного закрепления поверхностных спинов приводит к существенной перестройке спектра спин-волновых

мод. Чувствительность спектра к типу поверхностной анизотропии и степени закрепления требует при идентификации спин-волновых мод адекватного теоретического подхода. Для более точного определения параметров спектра в эксперименте желательно использовать пленки с малыми параметрами затухания ( $\xi \leq 10^{-2}$ ) и малыми толщинами ( $L \leq 10^{-4}$  см), при которых отсутствует перекрытие мод различных порядков.

## Список литературы

- [1] А.Г. Гуревич, Г.А. Мелков. Магнитные колебания и волны. Наука–Физматлит, М. (1994). 464 с.
- [2] Ю.А. Корчагин, Р.Г. Хлебопрос, Н.С. Чистяков. ФТТ **14**, 7, 2121 (1972).
- [3] Ю.А. Корчагин, А.В. Набатов, Г.И. Фиш и др. ФММ **35**, 1, 196 (1973).
- [4] V. Hoekstra, R.P. Stapele, J.M. Robertson. J. Appl. Phys. **B48**, 1, 382 (1977).
- [5] Л.В. Луцев, Ю.М. Яковлев. ФТТ **30**, 6, 1675 (1988).
- [6] С.Л. Высоцкий, Г.Т. Казаков, М.Л. Кац, Ю.А. Филимонов. ФТТ **35**, 5, 1190 (1993).
- [7] Д.И. Семенцов. ФТТ **38**, 2, 247 (1974).
- [8] П.Е. Зильберман, В.И. Козлов, А.В. Помялов. ФТТ **28**, 2, 352 (1986).
- [9] Р.С. Исхаков, А.С. Чеканов, Л.А. Чеканова. ФТТ **30**, 4, 970 (1988).
- [10] M. Jirsa. Phys. Stat. Sol. (b) **B125**, 187, 187 (1984).
- [11] А.М. Зюзин, А.Г. Бажанов. ЖЭТФ **111**, 5, 1667 (1997).